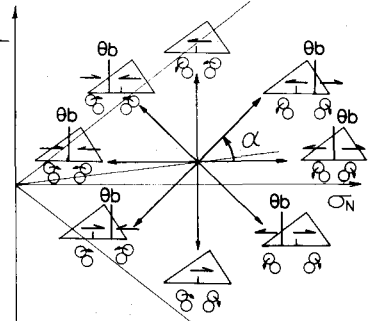
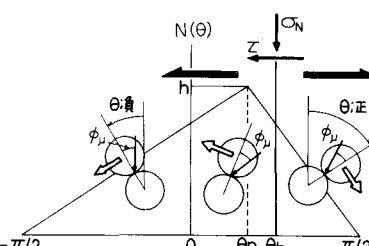


名古屋工業大学

"

学生員
正員○藤井俊逸
松岡元

粒状体に任意の応力が作用したときの粒子構造の変化を、着在すべり面上の粒子接点角分布とその粒子接点の滑動方向を考慮することによって表現し、圧縮・せん断現象を統一的に評価した任意応力経路下の粒状体の応力・ひずみ関係式を図-1 せん断応力 τ と垂直応力 σ_N が同時に増加する場合の粒子接点角分布と粒子の滑動方向



1. 着在すべり面上の応力比・ひずみ増分比関係

着在すべり面上の粒子接点角 θ の度数分布 $N(\theta)$ を、図-1 のように頂点の θ が θ_p なる三角形と近似する。^{12,2} 着在すべり面上でせん断応力 τ のみが増加すると、粒子は平均的に τ の作用方向に滑動（回転も含む）すると考えられるが、 τ と垂直応力 σ_N が同時に増加する場合には、 θ が正で大きい領域では τ の作用方向と逆方向に滑動すると考えられ（実測データ）、その境界の θ を境界粒子接点角 θ_b とする（図-1 参照）。

次に実測データより想定した種々の応力経路下の θ_b と θ_b の関係、粒子の滑動方向の概念図を図-2 に示す。破壊時 ($\theta_b = \theta_p$) にはすべての粒子がせん断方向に滑動するものとし、図-2 を参考にして θ_b と応力経路の σ_N 軸方向からの角度 α の関係を次のように仮定した。

$$\theta_b = \alpha + (90^\circ - \alpha) \cdot (\theta_p / \theta_{pf}) \quad (0^\circ \leq \alpha \leq 90^\circ) \quad (1)$$

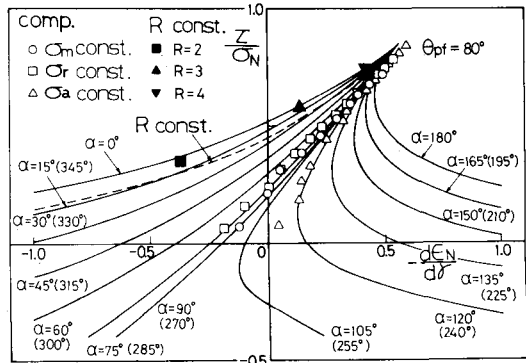
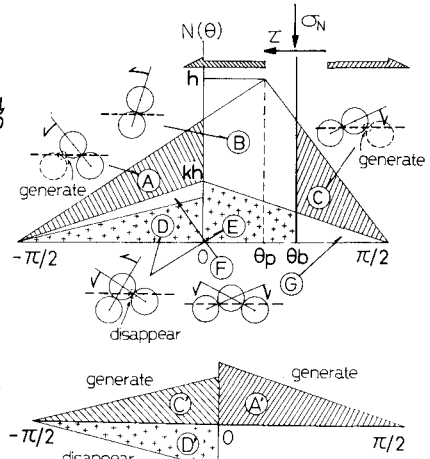
さて、図-1 のような粒子構造状態におけるせん断・垂直応力比 τ/σ_N せん断ひずみ増分 $d\gamma$ 、垂直ひずみ増分 $d\varepsilon_N$ は次のように式示される。^{12,2}

$$\frac{\tau}{\sigma_N} = \frac{\int_{-\pi/2}^{\theta_b} N(\theta) \cdot \sin(\theta + \phi_\mu) \cdot d\theta + \int_{\theta_b}^{\pi/2} N(\theta) \cdot \sin(\theta - \phi_\mu) \cdot d\theta}{\int_{-\pi/2}^{\theta_b} N(\theta) \cdot \cos(\theta + \phi_\mu) \cdot d\theta + \int_{\theta_b}^{\pi/2} N(\theta) \cdot \cos(\theta - \phi_\mu) \cdot d\theta} \quad (2)$$

$$d\gamma = \frac{d\theta_b}{(\pi/2 - \theta_b) \cdot D} \left[\int_{-\pi/2}^{\theta_b} N(\theta) \cdot \cos\theta \cdot d\theta - \int_{\theta_b}^{\pi/2} N(\theta) \cdot \cos\theta \cdot d\theta \right] \quad (3)$$

$$d\varepsilon_N = \frac{d\theta_b}{(\pi/2 - \theta_b) \cdot D} \left[\int_{-\pi/2}^{\theta_b} N(\theta) \cdot \sin\theta \cdot d\theta - \int_{\theta_b}^{\pi/2} N(\theta) \cdot \sin\theta \cdot d\theta \right] \quad (4)$$

ここに ϕ_μ は粒子摩擦角の平均値、 D は平均粒子間距離、 θ_b は θ の変化量、 $(\pi/2)$ は粒子接点角総数、 D はせん断領域一層の厚さの平均値である。上式より想定した種々の応力経路下の τ/σ_N ～ $d\gamma/d\varepsilon_N$ 関係を図-3 に示す。図中の点線は異方圧密 ($\tau_0 = \tan\alpha$ なる経路) における関係を示し、プロットは豊浦砂の三軸圧縮試験の実測値³⁾ を示す。 σ_N の増加する側圧 σ_r 一定経路では $\alpha < 90^\circ$ 側に σ_N の減少する軸圧 σ_a 一定経路では $\alpha > 90^\circ$

図-2 種々の応力経路下の境界粒子接点角 θ_b と粒子の滑動方向図-3 種々の応力経路 (α 一定と異方圧密) 下の応力比 τ/σ_N ひずみ増分 $-d\gamma/d\varepsilon_N$ の解析値と実測値図-4 粒子接点角分布中の点支持・2点支持接点角分布と粒子接点角の発生消滅機構(上)
その機構にしたがって発生および消滅する接点角分布(下)

側、平均主応力 σ_m -一定経路ではほぼ $\alpha=90^\circ$ にプロットされる。また図-5(a)は式(2)の関係を、(b),(c)は式(3),(4)の関係を θ_p に関して整理したものである。

2. 圧縮・せん断両現象を統一的に評価した応力・ひずみ関係

式(3),(4)より $d\sigma_r, d\epsilon_{12}$ の絶対値を求めるためには θ_p の関係が必要となる。そこで θ の総変化量 $\Delta(\bar{\theta}, n)$ ($\bar{\theta}$: θ の平均値($=\theta_0/2$), n :粒子接点角総数($=\pi/\alpha$)が粒子接点角の発生・消滅および定常(接合まま滑動する状態)の挙動の結果生じるものとして次式を立てた(図-4参照)。²⁾

$$\Delta(\bar{\theta}, n) = \Delta\bar{\theta} \cdot n + \bar{\theta} \cdot \Delta n = \pi h/6 \{ \Delta\theta_p + \theta_p (\Delta\theta_p) \}$$

$$= (\textcircled{A}) \cdot \left(\frac{\pi}{\alpha}\right) + (\textcircled{C}) \cdot \left(\frac{\pi}{\alpha}\right) - (\textcircled{D}) \cdot \left(-\frac{\pi}{\alpha}\right) - \theta_p \left[\frac{\partial}{\partial \theta} \left(N(\theta) d\theta - \int N(\theta) d\theta \right) \right] \quad (5)$$

ここに、 $\textcircled{A}, \textcircled{C}$ は1点支持接点角 $\textcircled{A}, \textcircled{C}$ 領域が滑動するごとに、 \textcircled{D} は2点支持接点角 \textcircled{D} 領域が滑動することによって発生する接点角数(図-4の $\textcircled{A}, \textcircled{C}$ 部の面積)、 \textcircled{B} は2点支持接点角 \textcircled{B} 領域が滑動することによって消滅する接点角数(図-4の \textcircled{D} 部の面積)を表す。そして発生割合を $P \cdot \Delta\theta$ (P : θ 関係は実測値に基づいて直線と仮定)、消滅割合を $R \cdot P \cdot \Delta\theta$ として次式を仮定する。

$$\textcircled{A} = P \cdot \Delta\theta, \textcircled{C} = P \cdot \Delta\theta, \textcircled{D} = R \cdot P \cdot \Delta\theta \quad (6)$$

ここに $\textcircled{A}, \textcircled{C}, \textcircled{D}$ はそれぞれ図-4の $\textcircled{A}, \textcircled{C}, \textcircled{D}$ 部の接点角数(面積)を表わし、左を1点支持接点と2点支持接点の比率(図-4参照)とする。 θ_p, θ_b を用いて表わされる。また圧密時には $\Delta\theta_p=0$ となりひずみ増分は $\Delta\epsilon_{12}$ に比例し、一方圧密時のひずみ増分は $\Delta\epsilon_{12}$ に比例するといわれているので次式が成立する(実測データ)。

$$\Delta\epsilon_{12}/h \propto \Delta\epsilon_{12}/\sigma_m \quad (7)$$

以上より、式(1),(5),(6),(7)から $\Delta\theta$ が $\theta_p, \Delta\theta_p, \Delta\epsilon_{12}, \alpha$ で表わされ、 α を与えれば $\Delta\theta_p$ は $\theta_p, \Delta\theta_p$ で表わされるので $\Delta\theta_p/\Delta\theta$ は図-5(a)のように算定される。なお圧密時には $\Delta\theta_p=0$ となるので $\Delta\theta_p/(\Delta\theta_p/\sigma_m)$ として図-5(e)のように表わした。図-5より θ_p を介して任意応力経路下の応力・ひずみ関係が得られる。

図-6, 7はそれをもとめ一定経路、主応力比R-一定経路の応力・ひずみ関係を表わし、図中のプロットは豊浦砂の実測値³⁾を示す。解析値は種々の応力経路下の砂の実測値の傾向を統一的に説明している。

解析に用いたパラメータは、 $\tan\phi_u=0.20, \phi=40^\circ (\theta_p=80^\circ), C_c/(1+C_c)=0.928\%, \theta_p=0^\circ$ の $P=500$ (側圧 σ_r -一定の三軸圧縮試験より決定)である。

謝辞 御援助いただいたい本学、山内利彦教授、中井照夫助教授、竹田一夫助手に謝意を表します。

文献 1) 松岡・外賀(1983): S&F, Vol.23, No.2, pp.83~97.

2) 松岡・藤井・中村(1984): 第19回土壤工学研究発表会(投稿中) 3) 中井・松岡(1981): 土木学会論文報告集, No.306, pp.23~34.

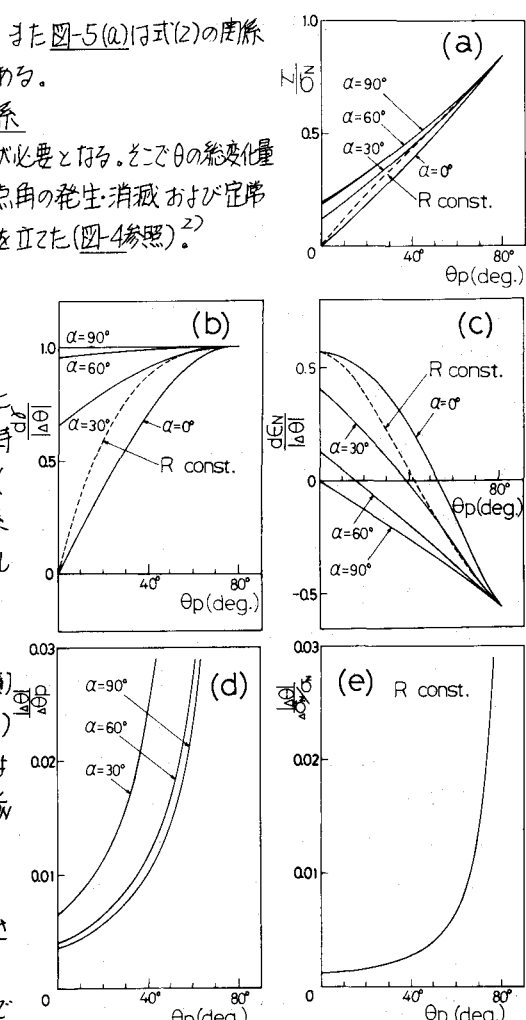


図-5 任意応力(α-定)とR-定)経路下での σ_r/σ_m , $d\sigma_r/d\theta$, $d\theta_p/d\theta$, $d\theta_p/(d\theta_p/\sigma_m)$ のθ_pに対する整理

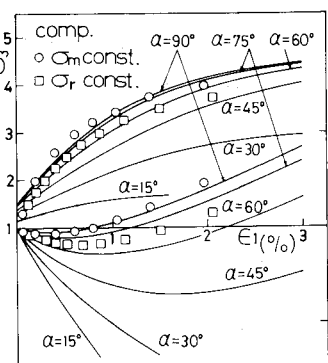


図-6 α-一定経路下の主応力比R(=0.1)へ伸張ひずみ ϵ_1 ～平均主応力 σ_m の解析値と実測値

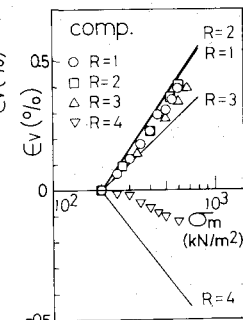


図-7 異方圧密経路(主応力比R-定)下の伸張ひずみ ϵ_1 ～平均主応力 σ_m の解析値と実測値